•病例报告•

Crowe IV型髋关节发育不良的机器人辅助全髋关节置换术两例报告

郭人文 孔祥朋 宋平 吴东 柴伟 陈继营

成人发育性髋关节发育不良(developmental dysplasia of hip, DDH)是人工全髋关节置换术(total hip arthroplasty, THA)的主要适应证之一^[1-3]。DDH解剖结构畸形,以Crowe IV型^[2-3]的高脱位 DDH尤为严重,其高脱位的假关节、发育不良的真臼、骨量的不足、下肢长度的不等都为THA手术带来挑战,术中骨折、血管神经损伤、下肢不等长、脱位等术中术后并发症的发生概率均较常规置换手术高^[1-3]。骨科手术机器人可以辅助医生进行手术,取得更好的手术效果^[4]。目前在关节置换领域应用最广的机器人是MAKO手术机器人(史赛克骨科,美国),据国内外研究报道,与传统手术相比,机器人辅助THA可以提高手术精准度,降低假体位置的变异风险,减少软组织创伤,取得更好的影像学和功能结果^[5-11]。

目前,机器人辅助困难THA的报道较少^[12],且未见机器人辅助THA治疗高脱位 DDH的报道。本文报告两例采用MAKO RIO[®]关节手术机器人系统辅助THA治疗 Crowe IV型DDH的病例,以证明此类病例可以采用机器人辅助手术,并受益于该技术的使用,获得良好且可预测的结果。

临床资料

例1,女,32岁,因跛行并双髋疼痛前来就诊。术前髋关节X线片示双侧髋关节Crowe IV型DDH(图1a)。查体示双髋活动无受限,跛行步态,Trendelenburg征阳性。基于计算机断层(CT)扫描的术前计划,在真臼中安放44 mm以上的Trident髋臼假体(史赛克,美国),以搭配28 mm的陶瓷股骨头(图1b),股骨侧采用SROM组配假体(强生,美国)。手术采用侧卧位后外侧入路,先行左侧THA,手术步骤与机器人辅助THA类似^[5,12]。基于机器人系统术中提供的骨盆三维重建模型,顺着扭曲的关节囊往下寻找真臼,找到髋臼下缘的横韧带,以横韧带为下边缘可以找到发育不良呈三角形的真臼。清理真臼中填充的组织,充分显露,对真臼及臼后缘进行髋臼侧的注册,包括3个髋臼方向的判定点、32个注册点和8个确认点(图1c)。进行机械臂辅助下的髋臼磨削,从35 mm的髋臼挫开始磨削,每2 mm增加髋臼挫型号,到39 mm时开始反向磨削,直至将髋臼打磨至直径为46 mm的

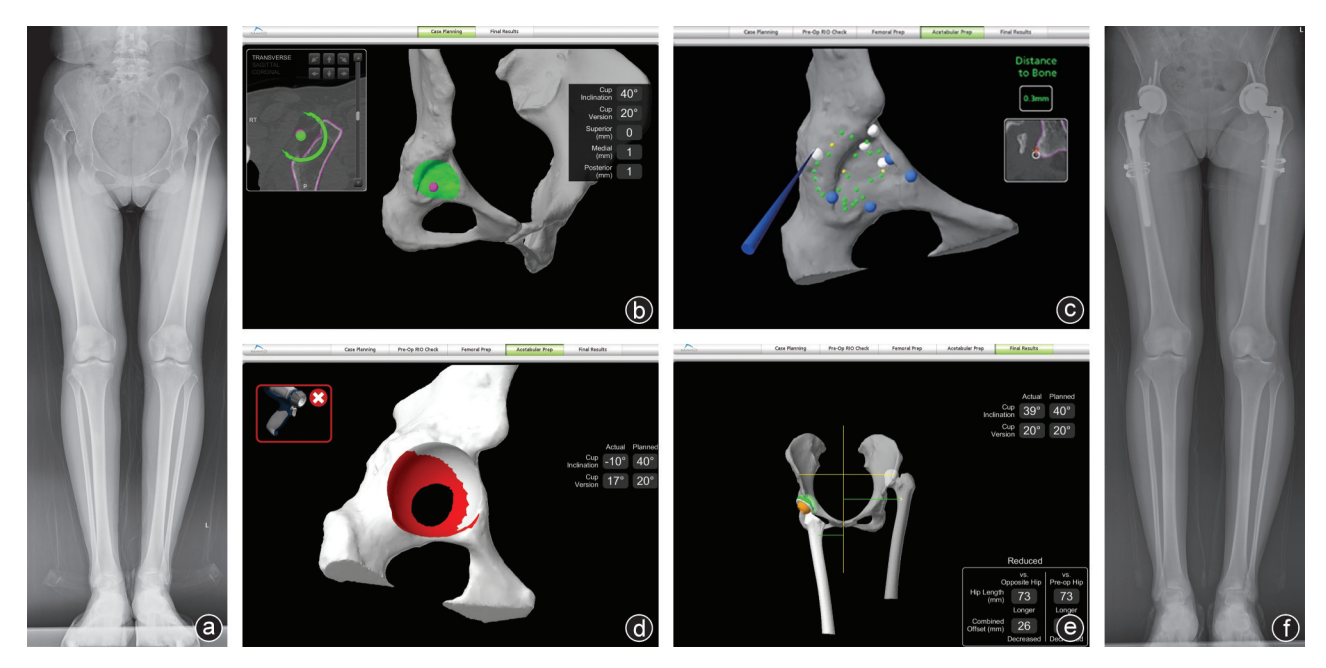


图1 病人,女,双侧 Crowe IV型 DDH a:术前下肢全长 X线片示双髋高脱位;b:三维规划将髋臼假体安放进发育不良的真臼中;c:术中注册点分布均匀,利用后壁骨骼进行注册;d:髋臼磨削成直径为46 mm的半球;e:髋关节复位后示下肢延长73 mm;f:术后8个月 X线片可见双下肢等长

 ${\rm DOI; 10.3969/j. issn. 1674\text{-}8573.2021.02.017}$

基金项目:解放军总医院成果转化课题(2018TM-13)

作者单位:中国人民解放军总医院第一医学中心骨科,北京 100853

通信作者:柴伟,E-mail:chaiwei301@163.com

半球形(图1d)。髋臼磨削时机器人系统的屏幕上可以实时 显示髋臼磨削进度和骨量信息,待磨削的骨骼被标记为绿 色,过度磨削超过1 mm 时标记为红色,过度磨削超过2.3 mm 时将停止磨削。然后在机械臂的引导下,根据系统实时反馈 的安装角度和预计位置安装 46 mm 的 Trident 髋臼假体。股 骨侧手工制备股骨髓腔,转子下截骨4 cm[1,13],安装假体。关 节复位后用机器人系统测量下肢长度,显示测量的转子部的 肢体术后延长了73 mm,但短缩截骨40 mm,手术实际延长长 度为33 mm(图1e)。1周后行右侧THA,髋臼假体位置、股 骨假体位置、截骨长度均与对侧一致。机器人辅助安装的 左侧外展角/前倾角(45°/20°)、右侧外展角/前倾角(40°/ 19°)与计划的角度(40°/20°)基本一致,双下肢等长。术后 卧床6周,后拄双拐行走至术后4个月。术后8个月复查时, 病人恢复良好,行走自如,无疼痛,活动良好,可下蹲,术后双 下肢等长(图1f)。术后1年时左、右侧髋关节Harris评分分 别为92分、93分。

例2,病人,女,59岁,因跛行并左髋疼痛前来就诊。术前髋关节 X线片示左侧髋关节 Crowe IV型 DDH(图2a)。查体示左髋活动无受限,跛行步态,Trendelenburg 征阳性。机器人辅助安装的髋臼的外展角/前倾角(48°/21°)与计划的角度(45°/24°)—致性好,下肢延长65 mm,股骨侧转子下截骨30 mm,则实际延长35 mm,术侧下肢较对侧短10 mm。病人术后卧床6周,后拄双拐行走至术后4个月。术后6个月复查时,病人恢复良好,术后双下肢基本等长(图2b),行走自如无疼痛,活动良好,可自如蹲起,对手术满意。术后1年时Harris 髋关节评分为90分。

讨 论

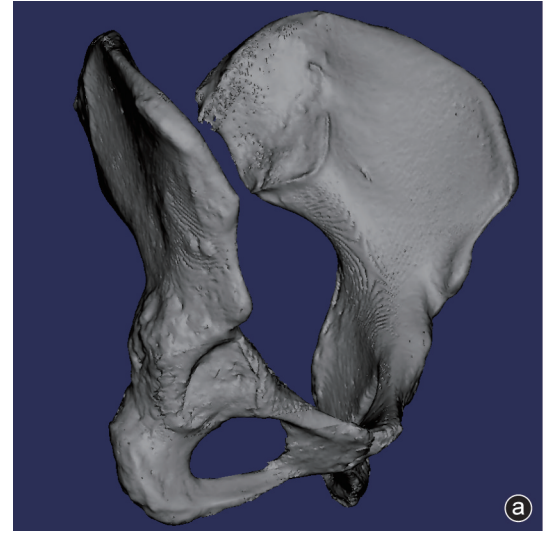
高脱位 DDH的 THA 非常具有难度和挑战性[1,3]。机器人辅助手术技术能够有效辅助手术医生克服高脱位 DDH的 THA 手术的难点,顺利完成手术,为手术带来明显的帮助。

手术在髋臼侧的难点在于如何将髋臼假体安放在发育 不良的真臼中。在高脱位的DDH病例中,真臼发育不良,形 态为三角形并非近圆形,大小偏小并骨量不足。Zhou等^[14]对 37 例高脱位的髋关节进行 CT扫描并重建,认为髋臼后壁的骨量相对充足,在适当磨削后壁骨量和向内向下移旋转中心后,可以放入44 mm大小的髋臼杯假体。但在实际操作中,对手术技术要求非常高,容易过度磨削,造成假体安装不稳定,手术失败。机器人系统在三维术前计划中允许直观地观察真臼骨骼的情况,可以获得最优的髋臼杯假体安放位置(图3 a、b)。在手术中,机器人系统辅助手术医生进行髋臼磨削和髋臼假体的安装,将其计划实现(图4 a、b)。





图 2 病人,女,左侧 $Crowe\ IV$ 型DDH a:术前下肢全长X线片示左髋脱位,左下肢短缩,骨盆倾斜;b:术后6个月复查X线片示术后双下肢基本等长



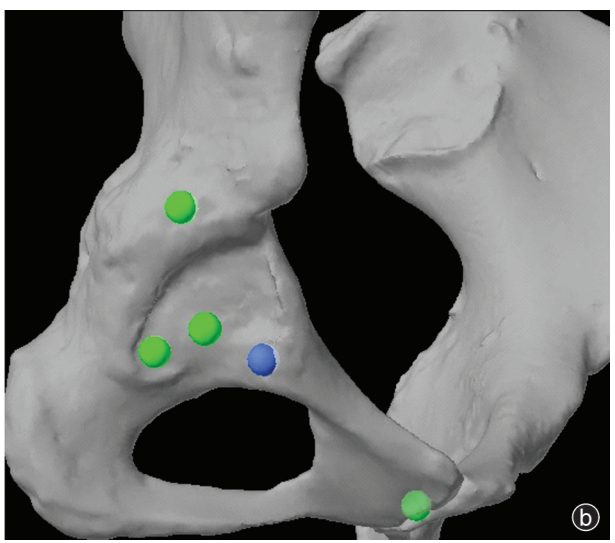


图3 骨盆CT数据分别采用Mimics软件(a)、MAKO系统(b)进行三维重建





图4 机械臂辅助髋臼磨削和髋臼假体安装 a:在机械臂引导下进行髋臼磨削,显示器中实时显示磨削进度,和距离髋臼磨削计划位置的三维距离(红色箭头标记),待磨削骨骼被标记为绿色,过度磨削超过1 mm的骨骼被标记为红色,过度磨削超过2.3 mm系统会自动停止磨削;b:在机械臂的引导下进行髋臼假体安装,实时显示髋臼假体的安装角度,和距离预计位置的距离(红色箭头标记)

下肢长度是DDH的THA的焦点所在。脱位的髋关节本就下肢不等长,加之DDH带来的肢体受力不同,下肢骨骼的长度也有所不同^[15],同时还需要考虑僵硬的脊柱对于体感下肢长度的影响^[16],这些给手术平衡下肢长度带来了很大的挑战。术前需要拍摄脊柱全长 X 线片评估脊柱柔韧性,拍摄下肢全长 X 线片测量下肢长度,综合计划手术肢体延长程度。机器人系统可以在术中测量下肢的延长长度,对手术医生有提示作用。

MAKO 机器人系统也有其不足之处,该系统仅能识别史赛克公司的部分假体产品,对于 Crowe IV型 DDH病人,髋臼侧只能选用 Trident 髋臼杯和 X3 聚乙烯内衬,而股骨侧SROM并不适配,只能大致测量腿长和偏距。

总之,对于高脱位 DDH的 THA,机器人系统在术前计划时可以最优化髋臼假体的安放位置,在术中可以准确地帮助手术医生按计划得到良好的臼杯位置和角度,在下肢长度平衡上能反馈下肢的长度并给予提示和验证,可以有效辅助完成手术。

参考文献

- [1] Tsiridis E. The adult hip-master case series and techniques [M]. Switzerland: Springer, 2018.
- [2] 叶灿华, 陈峰, 钱文伟, 等. 成人型髋关节发育不良的分型与治疗[J]. 中华骨与关节外科杂志, 2017, 10(1): 70-75.
- [3] Rogers BA, Garbedian S, Kuchinad RA, et al. Total hip arthroplasty for adult hip dysplasia [J]. J Bone Joint Surg Am, 2012, 94 (19): 1809-1821.
- [4] 吴国梁, 郑志博, 翁习生. 手术机器人系统在关节置换术中的应用研究进展[J]. 中华骨科杂志, 2017, 23(37): 1498-1504.
- [5] 郭人文, 柴伟, 李想, 等. 机器人辅助在股骨头坏死全髋关节置换术中的应用[J]. 中华骨科杂志, 2020, 40(13): 819-827.
- [6] Kanawade V, Dorr LD, Banks SA, et al. Precision of robotic guided instrumentation for acetabular component positioning[J]. J Arthroplasty, 2015, 30(3): 392-397.
- [7] Perets I, Walsh JP, Close MR, et al. Robot-assisted total hip arthroplasty: clinical outcomes and complication rate [J]. Int J Med

- Robot, 2018, 14(4): e1912.
- [8] Domb BG, El Bitar YF, Sadik AY, et al. Comparison of roboticassisted and conventional acetabular cup placement in THA: a matched-pair controlled study [J]. Clin Orthop Relat Res, 2014, 472(1): 329-336.
- [9] Nodzo SR, Chang CC, Carroll KM, et al. Intraoperative placement of total hip arthroplasty components with robotic-arm assisted technology correlates with postoperative implant position: a CT-based study[J]. Bone Joint J, 2018, 100-B(10): 1303-1309.
- [10] Kong X, Yang M, Jerabek S, et al. A retrospective study comparing a single surgeon's experience on manual versus robot-assisted total hip arthroplasty after the learning curve of the latter procedure - A cohort study[J]. Int J Surg, 2020, 77: 174-180.
- [11] Illgen RL Nd, Bukowski BR, Abiola R, et al. Robotic-assisted total hip arthroplasty: outcomes at minimum two-year follow-up [J]. Surg Technol Int, 2017, 30: 365-372.
- [12] Chai W, Guo RW, Puah KL, et al. Use of robotic-arm assisted technique in complex primary total hip arthroplasty [J]. Orthop Surg, 2020, 12(2): 686-691.
- [13] Sponseller PD, McBeath AA. Subtrochanteric osteotomy with intramedullary fixation for arthroplasty of the dysplastic hip. A case report[J]. J Arthroplasty, 1988, 3(4): 351-354.
- [14] Zhou YG, Sun CJ, Wang Y. New method addressing the problem of using ceramic-on-ceramic bearing in too small acetabulum of highriding DDH patients with THA [J]. Seminars in Arthroplasty, 2012, 23(4): 226-231.
- [15] Zhang Z, Luo D, Cheng H, et al. Unexpected long lower limb in patients with unilateral hip dislocation [J]. J Bone Joint Surg Am, 2018, 100(5): 388-395.
- [16] Li Y, Zhang X, Wang Q, et al. Equalisation of leg lengths in total hip arthroplasty for patients with Crowe type - W developmental dysplasia of the hip: classification and management [J]. Bone Joint J, 2017, 99-B(7): 872-879.

(收稿日期: 2020-07-27) (本文编辑:陈姗姗)

引用格式

郭人文, 孔祥朋, 宋平, 等. Crowe IV型髋关节发育不良的机器人辅助全髋关节置换术两例报告 [J]. 骨科, 2021, 12(2): 180-182. DOI: 10.3969/j, issn. 1674-8573.2021.02.017.